

УДК 681.142.642.7+621.374.325.4

К. Г. БОРИСОВ, В. И. КОРНЕЙЧУК,  
 Л. С. СИТНИКОВ, Л. Л. УТЯКОВ  
 (Киев)

### О НАДЕЖНОСТИ ФАЗОИМПУЛЬСНЫХ МНОГОУСТОЙЧИВЫХ ЭЛЕМЕНТОВ

Несмотря на эффективность применения многоустойчивых элементов в цифровой технике, практически важная проблема их надежности до настоящего времени почти не освещена.

В статье рассмотрены вопросы надежности фазоимпульсных многоустойчивых элементов (ЭФМ) и показаны технические решения, позволяющие существенно увеличить их надежность при постепенных отказах. Термин «надежность» здесь и дальше используется в узком смысле (как безотказность [1]) и оценивается вероятностью безотказной работы.

Поскольку фазоимпульсные элементы допускают значительное число принципиально различных схемных реализаций, оценки надежности будем производить на примере хорошо зарекомендовавшей себя ячейки [2], принципиальная схема и временные диаграммы работы которой приведены на рис. 1, а — в. Ячейка представляет собой релаксационный

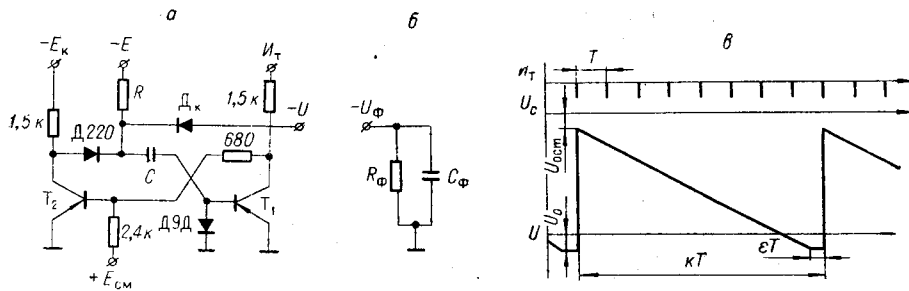


Рис. 1.

синхронизированный генератор, работающий в режиме деления частоты следования импульсов  $I_T$ , поступающих на вход синхронизации. Транзистор  $T_1$  нормально открыт током заряда накопительного конденсатора  $C$ , протекающим через переход эмиттер—база, в результате чего синхрои́мпульсы не проходят на разрядный транзистор  $T_2$ . При достижении напряжением  $U_C$  на накопительном конденсаторе величины, достаточной для открывания диода  $D_k$ , на анод которого подается

опорное напряжение  $U$ , ток заряда прекращается, транзистор  $T_1$  закрывается и очередной синхронимпульс запускает разрядный транзистор. Величина  $U_C$  при заряде конденсатора  $C$  может быть представлена в виде

$$U_C = \frac{E R_i - U_{\text{ост}} (R + R_i)}{R + R_i} \left( 1 - e^{-\frac{R + R_i}{R R_i C} t} \right),$$

где  $R_i$  — сопротивление утечки конденсатора  $C$ ;  $U_{\text{ост}}$  — остаточное напряжение на конденсаторе.

Пренебрегая величиной  $U_{\text{ост}} \ll E$  и учитывая, что  $R_i \gg R$ , получим

$$U_C \approx E \left( 1 - e^{-\frac{t}{RC}} \right).$$

Условия работы ячейки с заданным числом  $k$  устойчивых состояний (см. рис. 1, в) можно записать в виде

$$E \left( 1 - e^{-\frac{T(k-\varepsilon)}{RC}} \right) = U + U_x \quad (0 < \varepsilon < 1),$$

где  $U_x$  — падение напряжения на диоде  $D_k$ . Учитывая, что  $E \gg U \gg U_x$ , указанные два условия могут быть сведены к соотношению

$$k > \frac{URC}{ET} > k + 1. \quad (1)$$

Для оценки надежности ЭФМ предположим, что внезапные отказы и отказы, вызванные постепенными отклонениями параметров, статистически независимы. В этом случае надежность  $P(t, k)$  ЭФМ с числом  $k$  устойчивых состояний можно представить как

$$P(t, k) = P_1(t, k) P_2(t, k), \quad (2)$$

где  $P_1$  и  $P_2$  — надежности ЭФМ при внезапных и постепенных отказах. Так как количество компонентов схемы не зависит от числа устойчивых состояний, в первом приближении можно считать, что надежность  $P_1$  также не зависит от  $k$ . Надежность  $P_2$  при постепенных отказах равна вероятности того, что  $m$ -мерный вектор  $\vec{A}(t)$ , определяющий работоспособность ЭФМ, находится в заданной  $m$ -мерной области  $D(k)$ , т. е.

$$P_2(t, k) = P \{ \vec{A}(t) \in D(k) \},$$

где  $\vec{A}(t) = (A_1(t), A_2(t), \dots, A_m(t))$ ;  $A_i(t) = \varphi_j(a_1(t), a_2(t), \dots, a_n(t)) \times \times (j = 1, 2, \dots, m)$ ;  $a_i(t)$  ( $i = 1, 2, \dots, n$ ) — параметры компонентов схемы ЭФМ;  $n$  — число компонентов.

Из приведенных выше условий работоспособности ЭФМ следует, что в данном случае  $A(t) \approx \frac{URC}{ET}$ , а область  $D(k)$  является одномерной и определяется из неравенства (1), т. е.

$$k - 1 < A(t) < k. \quad (3)$$

Начальное значение величины  $A(t)$  обозначим  $A_0 = A(0)$ ; тогда при  $A_0 \neq 0$

$$\begin{aligned} P_2(t, k) &= P \{ A_0(1 - \mu(k)) < A(t) < A_0(1 + \mu(k)) \} = \\ &= P \left\{ \left| \frac{A(t) - A_0}{A_0} \right| < \mu(k) \right\}, \end{aligned}$$

где  $A_0(1 - \mu(k))$  и  $A_0(1 + \mu(k))$  — границы допустимых значений величины  $A(t)$ .

Изменения параметров  $a_i(t)$  во времени в первом приближении можно представить [3] в виде

$$a_i(t) = (a_{i0} \pm \Delta a_{i0}) (1 + X_i t),$$

где  $X_i$  — случайная величина с плотностью распределения  $f_i(x)$ , а  $\Delta a_{i0}$  обуславливается погрешностью в установке параметра  $a_i(t)$  и его изменениями под влиянием допустимых колебаний температуры и других физических факторов внешней среды. Поскольку  $\Delta a_{i0} \ll a_{i0}$  и  $X_i t \ll 1$ , то

$$A(t) = \varphi(a_1(t), a_2(t), \dots, a_n(t)) \approx A_0 + \sum_{i=1}^n (a_{i0} X_i t \pm \Delta a_{i0}) B_i,$$

где  $A_0 = \varphi(a_{10}, a_{20}, \dots, a_{n0})$ ,  $B_i = \frac{\partial \varphi(a_{10}, a_{20}, \dots, a_{n0})}{\partial a_i}$ ,

отсюда

$$P_2(t, k) = P \left\{ |Y| < \frac{\mu(k) - \Delta A}{t} \right\}, \quad (4)$$

где  $Y = \sum_{i=1}^n \frac{a_{i0} B_i}{A_0} X_i$ ;  $\Delta A = \sum_{i=1}^n \left| \frac{B_i \Delta a_{i0}}{A_0} \right|$ . В нашем случае

$$A(0) = \frac{U_0 R_0 C_0}{E_0 T_0}; \quad Y = X_U + X_R + X_C - X_E - X_T;$$

$$\Delta A = \frac{\Delta U_0}{U_0} + \frac{\Delta R_0}{R_0} + \frac{\Delta C_0}{C_0} + \frac{\Delta E_0}{E_0} + \frac{\Delta T_0}{T_0}. \quad (5)$$

Пусть плотность  $f(y)$  распределения случайной величины  $Y$  является четной функцией. Тогда для обеспечения максимума вероятности безотказной работы необходимо выбрать рабочую точку в центре области  $D(k)$ , т. е.

$$\frac{U_0 R_0 C_0}{E_0 T_0} = \frac{2k - 1}{2},$$

откуда

$$\mu(k) = \frac{1}{2k - 1}, \quad (6)$$

где  $U_0, R_0, C_0, E_0$  и  $T_0$  — значения параметров  $U, R, C, E$  и  $T$  при  $t=0$ ;  $\Delta U_0, \Delta R_0, \Delta C_0, \Delta E_0$  и  $\Delta T_0$  — погрешности в установке соответствующих параметров и допуски на их изменение под воздействием колебаний температуры и других дестабилизирующих факторов;  $X_U, X_R, X_C, X_E, X_T$  — коэффициенты стабильности соответствующих параметров.

Из выражения (4) следует [4], что при заданном  $t$  существует максимально допустимое для ЭФМ число  $k_m$  состояний, для которого еще выполняется условие

$$P_2(t, k_m) > 0,$$

но уже

$$P_2(t, k_m + 1) = 0.$$

С учетом (4) последнее выражение приводит к неравенству

$$\mu(k_m + 1) - \Delta A \leq 0, \quad (7)$$

из которого вытекает, что значение  $k_m$  следует определить, как целую часть корня уравнения  $\mu(k) - \Delta A = 0$ .

Если каждый из членов суммы в выражении (5) имеет порядок 0,01, то из (6) и (7) вытекает, что максимально допустимое число  $k$  состояний ЭФМ равно примерно десяти.

Интересно отметить, что в ряде случаев внезапные отказы оказывают преобладающее влияние на общую надежность. Действительно, примем надежность при постепенных отказах какого-либо узла  $a$  равной единице. Пусть интенсивность внезапных отказов узлов  $a$  и  $b$  равны соответственно  $\lambda_a$  и  $\lambda_b$ , причем  $\lambda_a > \lambda_b$ ; тогда

$$r(t) = \frac{P_b(t)}{P_a(t)} = \frac{P_{1b}(t)}{P_{1a}(t)} P_{2b}(t) = e^{\lambda t} P_{2b}(t), \quad (8)$$

где  $\lambda = \lambda_a - \lambda_b > 0$ . Для десятичного ЭФМ (узел  $b$ ) в соответствии с выражениями (4), (6) имеем

$$P_{2b}(t) = P \left\{ |Y| < \frac{1 - 19 \Delta A}{19 t} \right\} = \int_{-\alpha}^{+\alpha} f(y) dy, \quad (9)$$

где

$$\alpha = \frac{1 - 19 \Delta A}{19 t}$$

Если  $f(y)$  непрерывна в точке  $y=0$  и  $\alpha(0) \neq 0$ , то на основании теоремы о среднем из (8) и (9) получаем  $r(t) = e^{\lambda t} 2 \alpha f(\xi)$ , где  $|\xi| < \alpha$  и при  $t \rightarrow \infty \xi \rightarrow 0$ .

Так как  $f(0) \neq 0$ , то найдется такое число  $\delta \neq 0$ , для которого  $f(\xi) \geq \delta$ , т. е.  $r(t) \geq e^{\lambda t} 2 \alpha \delta$ .

Следовательно, при  $t \rightarrow \infty r(t) \rightarrow \infty$ . Это означает, что начиная с некоторого значения  $t_0$   $P_b$  будет больше  $P_a$ . При малых значениях  $t$  соответствие между  $P_b$  и  $P_a$  сильно зависит от  $\lambda$ ,  $\Delta A$  и  $f(y)$ .

На рис. 2 показаны графики функции  $r(t)$  в предположении, что случайная величина  $Y$  распределена по нормальному закону с дисперсией  $\sigma^2$  и средним значением  $M(Y)=0$ . Как видно из рис. 2, фазоимпульсные многоустойчивые элементы на основе емкостного накопителя могут иметь большую надежность, чем с тем же числом устойчивых со-

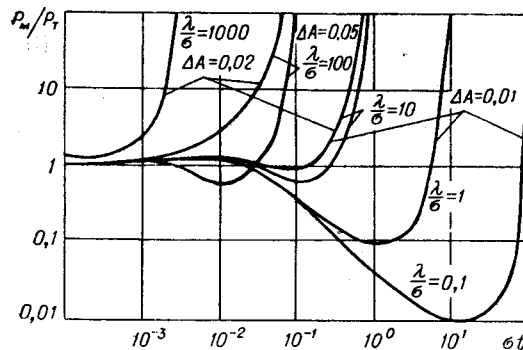


Рис. 2.

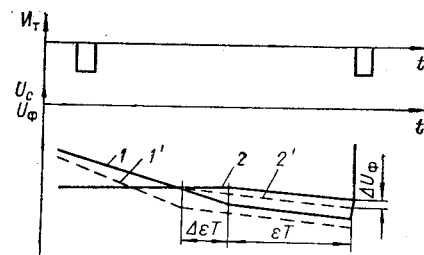


Рис. 3.

стояний устройства на двоичных триггерах, при условии, что использованы высокостабильные компоненты, а их начальные параметры соответствуют номинальным значениям. Однако на практике указанные условия неприемлемы при организации промышленного выпуска ЭФМ небольшой стоимости, пригодных для массового использования.

В связи с этим в последние годы авторами велась интенсивная работа по увеличению схемной надежности многоустойчивых элементов и, в первую очередь, по устранению критичности ЭФМ к нестабильности параметров схемы.

Одно из наиболее радикальных решений поставленной задачи заключается во введении в схему ЭФМ цепи автоподстройки [5], в результате чего любые влияния дестабилизирующих факторов компенсируются изменением величины управляемого сигнала, например напряжения компарации, на выходе цепи автоподстройки. В простейшем случае указанная цепь представляет собой фильтр нижних частот с большой постоянной времени, подключаемый к фазоимпульсному элементу с емкостным накопителем вместо внешнего источника напряжения компарации. Для элемента памяти на рис. 1, а режим автоподстройки может быть введен путем подключения к аноду диода  $D_k$  RC-цепи, изображенной на рис. 1, б.

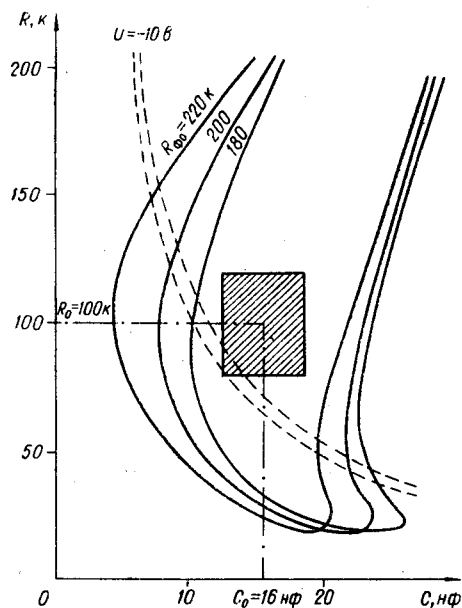
Рассмотрим на примере изменения величины емкости  $C$  механизм действия автоподстройки. В данном случае напряжение на конденсаторе  $C$  (линия 1 на рис. 3) после достижения величины, достаточной для открывания диода  $D_k$ , не остается неизменным, а продолжает возрастать в течение времени  $\epsilon T$  одновременно с напряжением на конденсаторе фильтра  $C_\phi$  (линия 2), но крутизна изменения, а следовательно, и ток базы транзистора  $T_1$  уменьшаются в  $\frac{C + C_\phi}{C}$  раз. При  $C_\phi \gg C$  практически весь ток от источника через сопротивление  $R$  идет на заряд конденсатора фильтра, вследствие чего элемент срабатывает точно так же, как и в рассмотренном ранее случае без цепи автоподстройки. Если параметры схемы остаются без изменений, то работе элемента с коэффициентом деления  $k$  соответствует такое среднее значение напряжения  $U_\phi$  на конденсаторе  $C_\phi$ , что величины его приращений при заряде емкости за время  $\epsilon T$  и при разряде за время  $(k - \epsilon)T$  равны. Предположим, что под влиянием каких-либо причин величина емкости  $C$  уменьшилась. Это приводит к увеличению крутизны нарастания напряжения на конденсаторе  $C$  (линия 1'), диод открывается раньше, и, следовательно, время заряда конденсатора  $C_\phi$  возрастает на величину  $\Delta \epsilon T$ , что приводит к увеличению среднего значения напряжения  $U_\phi$  на величину  $\Delta U_\phi$ . В итоге к моменту очередного срабатывания элемента влияние изменения емкости  $C$  оказывается скомпенсированным за счет увеличения напряжения компарации  $U_\phi$ . Аналогично процесс увеличения емкости  $C$  приводит к уменьшению среднего значения  $U_\phi$ . Очевидно, что процесс компенсации будет иметь место при изменении любых других параметров ( $R$ ,  $R_\phi$ ,  $T$ ,  $E$  и др.) в случае, если скорость этих изменений будет меньше критической, определяемой постоянной времени  $\tau_\phi = R_\phi C_\phi$ .

Условия работы ячейки с цепью автоподстройки могут быть описаны теми же формулами, что и для ячейки по рис. 1, а, если вместо величины  $U$  подставить значение  $U_\phi$ , определяемое из равенства величин приращений напряжений на конденсаторе  $C_\phi$  при заряде и разряде, т. е.

$$\frac{ET(k - \epsilon)}{RC} = \frac{\epsilon R_\phi E}{\epsilon R_\phi + kR} + U_\phi; \quad 0 < \epsilon < 1.$$

Как видно из аналитической записи, основными параметрами схемы, определяющими требуемый режим работы, являются величины накопительной емкости  $C$  и сопротивлений  $R$  и  $R_\phi$ .

На рис. 4 представлены области устойчивой работы десятичного



элемента памяти по схеме рис. 1 (в качестве диода  $D_k$  использован диод типа Д220, транзисторы  $T_1$  и  $T_2$  типа П416Б, номинальные значения напряжений  $E_R$ ,  $E$  и  $E_{см}$  соответственно  $-12,5$  в;  $-100$  в и  $+1,5$  в, номинальная частота синхронизирующих импульсов  $-100$  кГц,  $C_\phi = 1$  мкф) в плоскости параметров  $R$  и  $C$  при различных значениях  $R_\phi$ . Для сравнения штриховой линией показана область устойчивой работы ЭФМ без автоподстройки. Границы заштрихованной прямоугольной области соответствуют уходу параметров от номинальных значений на  $\pm 20\%$ . Как видно из рисунка, введение автоподстройки расширяет область устойчивой работы ЭФМ в 10—15 раз.

Рис. 4.

#### ЛИТЕРАТУРА

1. Надежность технических систем и изделий. Терминология.— Сборник рекомендуемых терминов, вып. 67 а. «Наука», 1965.
2. К. Г. Борисов, В. И. Корнейчук, Л. С. Ситников, А. Г. Скорик, Л. Л. Утяков. Электронная клавишная суммирующая машина.— В сб. «Механизация и автоматизация управления». Киев, УкрНИИТИ, 1968, № 3.
3. Г. В. Дружинин. Надежность устройств автоматики. М.—Л., «Энергия», 1964.
4. В. И. Корнейчук. Надежность и оптимальное число состояний многоустойчивых элементов.— Автоматика и вычислительная техника (Рига), 1968, № 5.
5. Л. С. Ситников, Л. Л. Утяков, С. Е. Токовенко. Метод стабилизации коэффициента деления фазоимпульсных многоустойчивых схем.— Автоматика и телемеханика, 1969, № 7.

Поступила в редакцию  
15 октября 1968 г.,  
окончательный вариант —  
30 июля 1969 г.